

· 研究报告 ·

## 用 HPLC 法测定红茴香注射液中槲皮苷的含量

成程, 陈向梅, 马健, 赵胤 (中国人民解放军总医院医疗保障中心药剂科, 北京 100048)

**[摘要]** 目的 建立高效液相色谱法测定红茴香注射液中槲皮苷的含量。方法 色谱柱为 Dikma C<sub>18</sub>(250 mm×4.6 mm, 5 μm), 以乙腈-0.1% 磷酸水溶液(25 : 75)为流动相, 流速为 1.0 ml/min, 柱温 30 °C, 检测波长为 256 nm。结果 槲皮苷在 0.215 ~ 3.225 μg 范围内呈良好线性关系, 相关系数为 0.999 6, 该法的平均回收率为 99.39%, RSD 为 0.82%(*n*=6), 重复性为 1.194 mg/ml, RSD 为 0.40%。结论 3 批红茴香注射液的槲皮苷平均含量结果为 1.191 mg/ml, 该法简便、快速、准确, 可作为测定红茴香注射液中槲皮苷含量的方法。

**[关键词]** 高效液相色谱法; 红茴香注射液; 槲皮苷

**[中图分类号]** R284.1

**[文献标志码]** A

**[文章编号]** 1006-0111(2021)05-0447-02

**[DOI]** 10.12206/j.issn.1006-0111.202103041

## Quantitative determination of quercetin in Honghuixiang injection by HPLC

CHENG Cheng, CHEN Xiangmei, MA Jian, ZHAO Chuan (Department of Pharmacy, Medical Security Centre, Chinese PLA General Hospital, Beijing 100048, China)

**[Abstract]** **Objective** To establish quantitative methods to assay quercetin in Honghuixiang injection by HPLC. **Methods** Dikma C<sub>18</sub> column(250 mm×4.6 mm, 5 μm) was used for the assay with acetonitrile-0.1% phosphoric acid (25 : 75) as the mobile phase. Flow rate was 1.0 ml/min. The column temperature was 30 °C. The detection wavelength was at 256 nm. **Results** Quercetin showed good linear relationship within the range of 0.2150-3.225 μg. The correlation coefficient was 0.999 6. The average recovery was 99.39% with RSD 0.82% (*n*=6). The repeatability was 1.194 mg/ml with RSD 0.40%. **Conclusion** The average quercetin content in three batches of Honghuixiang injection was 1.191 mg/ml. This method is simple, rapid and accurate. It can be used for the determination of quercetin in Honghuixiang injection.

**[Key words]** HPLC; Honghuixiang injection; quercetin

红茴香注射液是由红茴香根皮经提取制成的灭菌水溶液, 具有消肿散瘀, 活血止痛作用。临床用于腰肌劳损, 关节或肌肉韧带伤痛等。总黄酮是红茴香注射液的主要成分。原标准以芦丁为对照品, 采用紫外分光光度法测定总黄酮的量, 专属性不强。故笔者参考《中国药典》<sup>[1]</sup>, 以槲皮苷为测定对象, 采用 HPLC 法测定红茴香注射液中槲皮苷的含量<sup>[2-5]</sup> 获得满意结果, 现报告如下。

### 1 仪器和试药

#### 1.1 仪器

Agilent 1100 系列型高效液相色谱仪; HP-Chemstation 色谱工作站。

**[作者简介]** 成程, 硕士, 药师, 研究方向: 药物临床试验, Email: cheng85530477@126.com

**[通信作者]** 赵胤, 副主任药师, 研究方向: 临床药学, Email: 13621328693@163.com

#### 1.2 试药

乙腈为色谱纯, 其他试剂均为分析纯。槲皮苷对照品由中国药品生物制品检定所提供(批号: 111538-200301, 含量测定用), 红茴香注射液由浙江泰康药业有限公司提供(批号: 20040730)。

### 2 方法与结果

#### 2.1 色谱条件

色谱柱为 Dikma C<sub>18</sub>(250 mm×4.6 mm, 5 μm); 流动相为乙腈-0.1% 磷酸水溶液(25 : 75), 流速 1.0 ml/min, 柱温 30 °C, 检测波长 256 nm, 进样量为 10 μl。色谱柱的理论塔板数按槲皮苷峰计算大于 3 000。

#### 2.2 溶液制备

##### 2.2.1 对照品溶液

精密称取槲皮苷对照品(120 °C 减压干燥至恒重)适量, 加甲醇制成每 1 ml 含 0.1 mg 的溶液, 摇匀, 即得。

### 2.2.2 供试品溶液

精密吸取本品 3 ml, 置 25 ml 量瓶中, 加甲醇至刻度, 摇匀, 用微孔滤膜 (0.45 μm) 滤过, 取滤液作为供试品溶液。

### 2.2.3 阴性对照溶液

取辅料作为缺样空白样品, 按“2.2.2”项下方法

制备。

### 2.3 专属性试验

分别取阴性对照溶液, 对照品溶液及供试品溶液适量, 滤过取续滤液 10 μl 注入 HPLC 仪, 分别记录色谱图。实验结果表明, 该方法专属性良好, 阴性对照无干扰, 结果见图 1。

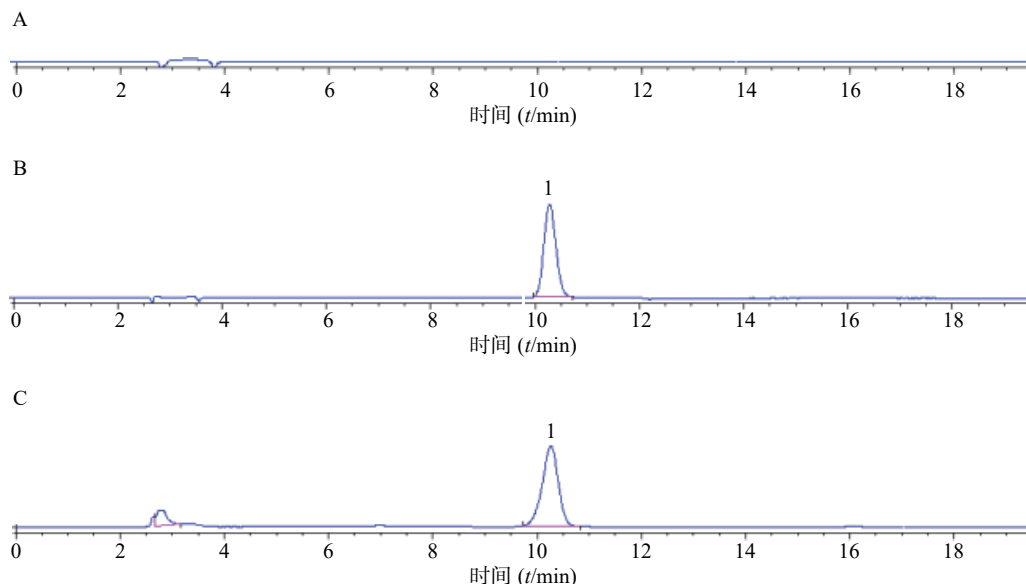


图 1 红茴香注射液 HPLC 图

A. 阴性对照溶液; B. 对照品溶液; C. 供试品溶液; 1. 槲皮苷

### 2.4 线性关系考察

精密称取经减压干燥 24 h 的槲皮苷对照品适量, 加甲醇配成每 1 ml 含槲皮苷 0.215 0 mg 的对照品溶液。分别精密吸取对照品溶液, 注入高效液相色谱仪, 按上述色谱条件进行测定, 记录色谱图, 以槲皮苷峰面积的积分值为 Y, 进样量为 X(μg), 回归得线性方程  $Y=1\ 515.9X+57.088\ 2$ ,  $r=0.999\ 8$ , 表明在 0.215 ~ 3.225 μg 范围内呈良好线性关系。

### 2.5 重复性试验

取同一批供试品 6 份 (批号: 20040730), 分别按供试品溶液制备法制备, 按“2.1”项色谱条件测定。结果表明含量值分别为: 1.187、1.189、1.197、1.196、1.196、1.198 mg/ml, RSD 为 0.40%(n=6), 表明此方法重复性较好。

### 2.6 精密度试验

精密吸取同一供试品溶液 (批号: 20040730) 10 μl, 重复进样 6 次, 按“2.1”项下色谱条件测定。峰面积分别为 2 214.51、2 217.06、2 232.75、2 236.86、2 250.09、2 190.69, RSD 为 0.86%(n=6), 结果表明仪器精密度良好。

### 2.7 稳定性试验

精密吸取同一批号供试品溶液 (批号: 20040730)

10 μl, 分别于 0、0.5、1、2、8、12、24 h 测定峰面积值, 结果为 2 220.96、2 223.36、2 230.08、2 235.78、2 246.88、2 200.44、2 227.17, 平均峰面积为 2 226.38, RSD 为 0.64%(n=6), 结果表明供试品溶液在 24 h 内稳定。

### 2.8 加样回收率试验

取已测定含量的样品 6 份, 每份 3 ml, 分别加入槲皮苷对照品溶液 10 ml (浓度为 0.225 4 mg/ml), 按供试品溶液的制备方法操作, 进行回收率测定, 结果分别为 100.49%、99.33%、98.14%、99.82%、98.89%、99.65%, 平均加样回收率为 99.39%, RSD 为 0.82%(n=6)。

### 2.9 样品含量测定

分别取 3 批不同批号的红茴香注射液样品, 按“2.2”项下制备供试品溶液, 样品测定结果见表 1。

表 1 样品含量测定结果 (mg/ml)

| 批号       | 槲皮苷   | 平均含量  |
|----------|-------|-------|
| 20040730 | 1.194 | 1.191 |
| 20040824 | 1.186 |       |
| 20041222 | 1.192 |       |

(下转第 453 页)

- 41(22): 165-171.
- [4] 李贞卓, 包海鹰. 血红铆钉菇化学成分和药理活性研究概述[J]. 菌物研究, 2015, 13(3): 181-186.
- [5] 王贺, 宋文刚, 任婷, 等. 血红铆钉菇多糖分离纯化及抗氧化活性研究[J]. 北华大学学报(自然科学版), 2019, 20(1): 64-67.
- [6] 张海悦, 杨雪, 李震, 等. 血红铆钉菇黄酮体外抗氧化活性的研究[J]. 食品研究与开发, 2016, 37(19): 109-113.
- [7] MARTÍN M P, SIQUIER J L, SALOM J C, et al. Barcoding sequences clearly separate *Chroogomphus mediterraneus* (Gomphidiaceae, Boletales) from *C. rutilus*, and allied species[J]. *Mycoscience*, 2016, 57(6): 384-392.
- [8] LUO J, ZHOU W, CAO S, et al. Chemical constituents of *Chroogomphus rutilus* (schaeff.) o. k. mill[J]. *Biochem Syst Ecol*, 2015, 61: 203-207.
- [9] SONG S, YANG H, SU C P, et al. Ultrasonic-microwave assisted synthesis of stable reduced graphene oxide modified melamine foam with superhydrophobicity and high oil adsorption capacities[J]. *Chem Eng J*, 2016, 306: 504-511.
- [10] 李志锐, 韩淑琴. 超声-微波协同萃取玛卡多糖工艺研究[J]. 农产品加工, 2017(3): 22-23, 27.
- [11] GAO C J, WANG Z Y, SU T T, et al. Optimisation of exopolysaccharide production by *Gomphidius rutilus* and its antioxidant activities in vitro[J]. *Carbohydr Polym*, 2012, 87(3): 2299-2305.
- [12] 唐超, 王清吉, 葛蔚, 等. 血红铆钉菇多糖对小鼠S<sub>180</sub>肉瘤的抑制作用[J]. 安徽农业科学, 2010, 38(6): 2966-2967.
- [13] WANG C, ZHANG J, WANG F, et al. Extraction of crude polysaccharides from *Gomphidius rutilus* and their antioxidant activities in vitro[J]. *Carbohydr Polym*, 2013, 94(1): 479-486.
- [14] 李燕华, 李仲昆, 李从元, 夏洪颖. 车前草粗多糖对人巨噬细胞免疫功能的调节作用及其机制研究[J/OL]. 中药材, 2020(11): 2795-2798.
- [15] 王晶, 史琪, 随晶晶, 等. 鳞柄小奥德蘑多糖对巨噬细胞免疫功能的调节作用[J]. 天然产物研究与开发, 2020, 32(5): 845-850, 892.
- [16] 孙林浩, 程安怡, 黄小红, 等. 黄芪多糖对大黄鱼头肾巨噬细胞的免疫调节作用[J]. 应用海洋学学报, 2020, 39(1): 27-34.
- [17] 刘肖肖, 汪雯翰, 冯婷, 等. 金针菇子实体多糖FVPB1对小鼠T细胞和巨噬细胞的免疫调节作用[J]. 食用菌学报, 2019, 26(4): 123-130.
- [18] 季瑞雪, 鹿保鑫, 王新茹, 等. 野生亚侧耳多糖的提取和对巨噬细胞RAW264.7的免疫调节作用研究[J]. 食品工业科技, 2020, 41(4): 271-276.
- [19] 木尼萨·迪力夏提. 阿里红多糖对RAW<sub>264.7</sub>巨噬细胞免疫调节作用机制的初步研究[D]. 乌鲁木齐: 新疆医科大学, 2019.
- [20] 热西代姆·阿卜力孜, 李敏, 胡君萍. 锁阳多糖对巨噬细胞RAW<sub>264.7</sub>的免疫调节作用的影响[J]. 食品安全质量检测学报, 2018, 9(21): 5694-5698.
- [21] 张丽娟, 王珍, 廖尚高. 太子参多糖对RAW 264.7巨噬细胞免疫调节作用的初步研究[J]. 中国野生植物资源, 2018, 37(4): 14-17.
- [22] 吴静, 胡居吾, 熊伟, 等. 樟树果实多糖对巨噬细胞RAW<sub>264.7</sub>的免疫调节作用[J]. 现代食品科技, 2018, 34(9): 12-18, 309.
- [23] 热孜亚木·吾甫尔, 李月红, 海力茜·陶尔大洪. 恰麻古多糖对巨噬细胞RAW<sub>264.7</sub>体外免疫调节作用初探[J]. 天然产物研究与开发, 2018, 30(1): 15-20.
- [收稿日期] 2021-02-01 [修回日期] 2021-08-22  
[本文编辑] 陈盛新

(上接第 448 页)

### 3 讨论

#### 3.1 测定波长的选择

取对照品溶液依法操作, 在 200 ~ 400 nm 的波长范围内扫描, 结果在 256.6 nm 处有最大吸收, 因此选择 256 nm 作为测定波长 (图 2)。

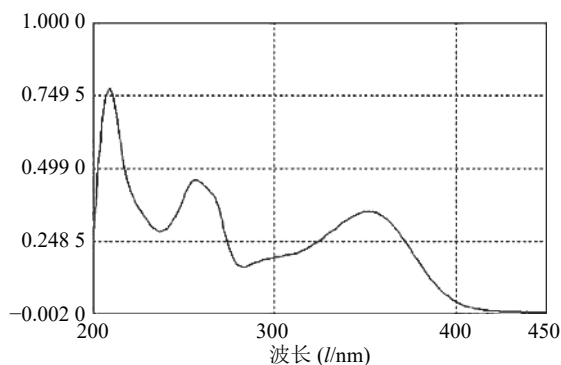


图 2 槲皮苷对照品紫外扫描图

#### 3.2 溶剂的选择

槲皮苷易溶于甲醇、乙醇, 用甲醇作溶剂的峰形比用乙醇作溶剂的峰形好, 因此选择用甲醇作为溶剂。

#### 【参考文献】

- [1] 国家药典委员会. 中华人民共和国药典(一部)[S]. 北京: 化学工业出版社, 2005.
- [2] 邱晓静, 苏文镜. HPLC法测定红茴香注射液中芦丁的含量[J]. 海峡药学, 2008, 20(3): 70-71.
- [3] 王姿媛, 胡惠兰. HPLC法测定哥王药材中的槲皮苷含量[J]. 中国实验方剂学杂志, 2013, 19(7): 127-129.
- [4] 常明泉, 潘涛. HPLC法测定氯定庆溶液中苯甲酸钠的含量[J]. 海峡药学, 2017, 29(3): 60-62.
- [5] 董丹华, 刘玉军. HPLC法测定圣愈汤冻干粉中4个指标成分的含量[J]. 中国药房, 2020, 31(5): 576-580.

[收稿日期] 2021-03-19 [修回日期] 2021-06-30  
[本文编辑] 李春德